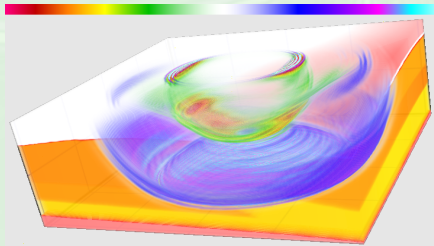
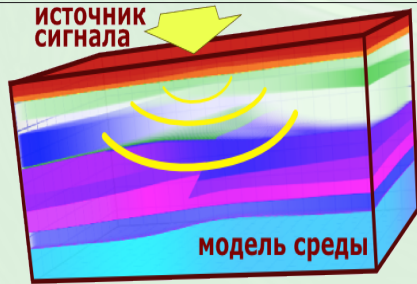


# Трёхмерное полноволновое моделирование в сейсморазведке с использованием графических ускорителей

В.Д. Левченко

ИПМ им. М.В. Келдыша РАН, Москва

Сейсмические технологии, 21-23 апреля, Москва



## Сейсморазведка с точки зрения численного моделирования

- ▶ Относится к геофизическим методам разведки полезных ископаемых, в основном на нефть и газ. Математическая модель — система уравнений упругости. Частота сигналов 20-50Гц, длина волны  $\sim 100\text{м}$ .
- ▶ Использует слоистую модель земной коры, толщина целевых пластов 25-5м. Каждый слой (пласт) характеризуется набором сейсмофизических параметров (плотность, скорости сейсмических волн, параметры анизотропии и затухания) с резким изменением свойств на границе пластов. Требует волнового описания на основе эффективных моделей среды, усреднённых внутри длины волны
- ▶ Позволяет выделять структурные особенности строения земной коры в районе целевых пластов (глубина 3-5-7км) при помощи усреднения многих сейсмограмм. Высокопаралльная задача, разбивающаяся на множество независимых подзадач.
- ▶ Сама по себе не даёт однозначного ответа на вопрос: «Где нефть?», успех сейсморазведки достигается только при учёте комплекса априорной информации, получаемой независимыми методами. Обратная задача некорректна.

## Этапы проведения сейсморазведки

1. Планирование полевых работ на основе априорной геологической модели сейсмического объекта (потенциального месторождения).
2. Полевая сейсморазведка: развёртывание источника и системы наблюдения, регистрация откликов, получение набора сейсмограмм.
3. Предобработка: введение поправок, коррекция, фильтрация...
4. Построение изображения геосреды: **миграция**, суммирование, построение сейсмических разрезов (кубов).
5. Интерпретация результатов: **инверсия**, построение модели пласта.
6. Верификация полученной модели.

## Основные параметры сейсморазведки

По системе наблюдения: 2D/3D

По числу регистрируемых компонент поля: 1С/3С

Число каналов в одной сейсмограмме:  $10^3 \div 10^6$

Число сейсмограмм на сейсмический объект:  $10^3 \div 10^5$

Размер данных:  $1 \div 10$  ТВ/объект

+ каротаж, исследование керна, гравика, электроразведка, ...

# Полноволновое моделирование

Полная динамика: пространственно–временная эволюция поля упругих волн, возбуждаемых источником в гео- среде;

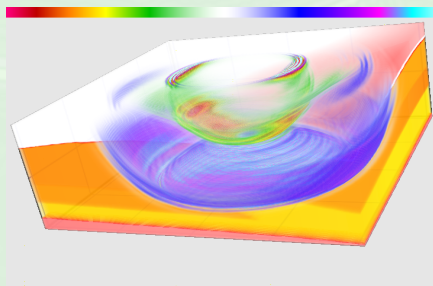
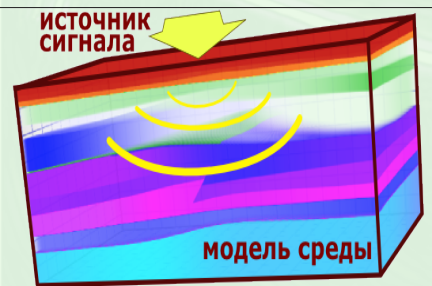
Все составляющие сейсмического сигнала:

компоненты, фазы, амплитуды, форма сигналов;

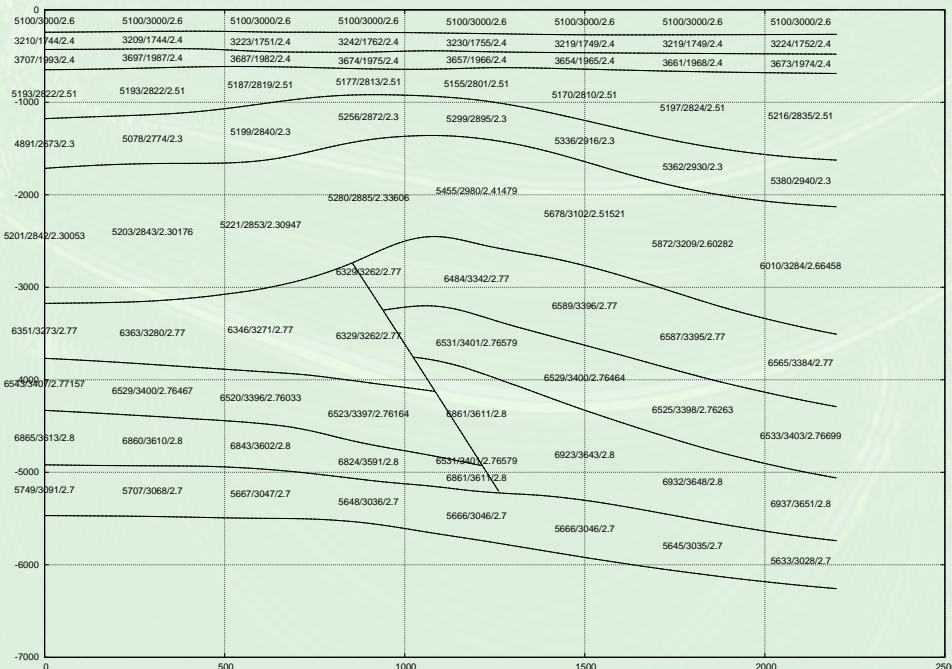
Все типы волн: продольные, поперечные разных поляризаций,

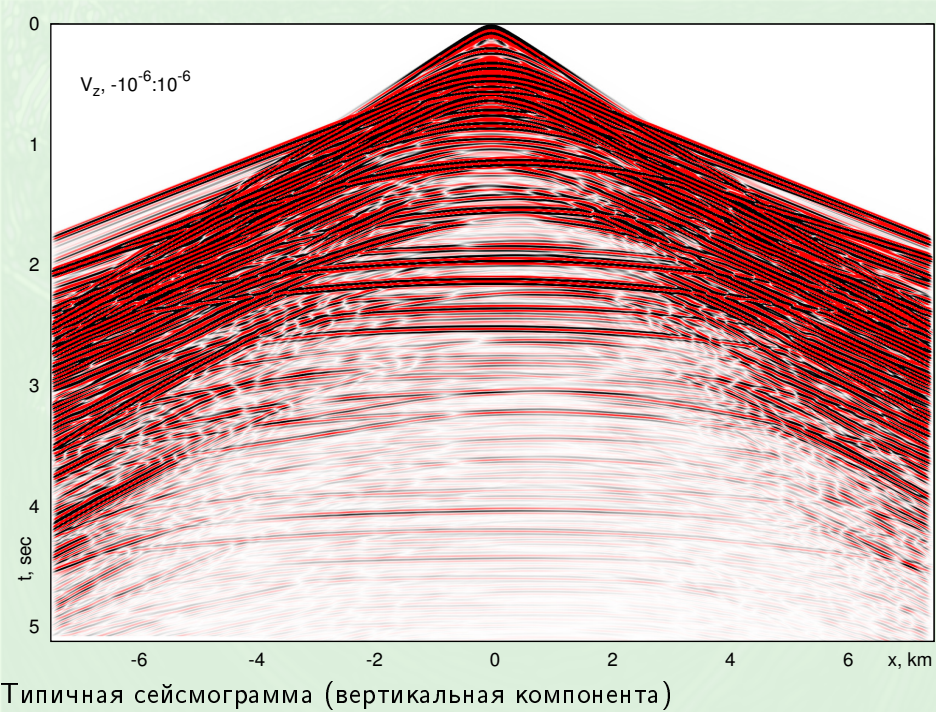
поверхностные, обменные, кратные, ...,

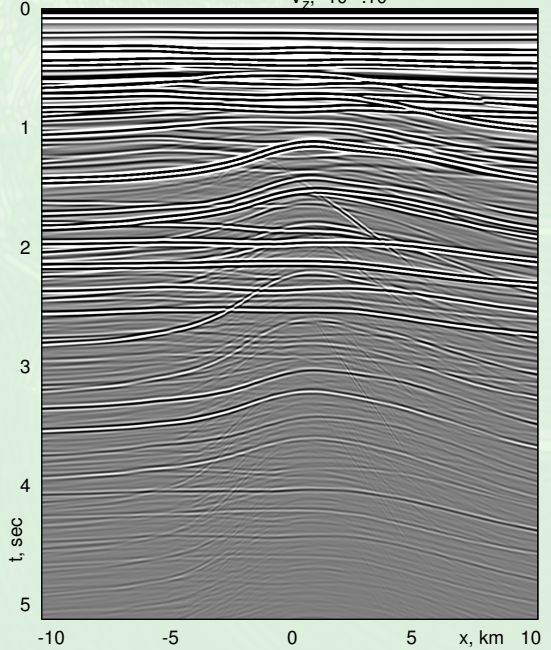
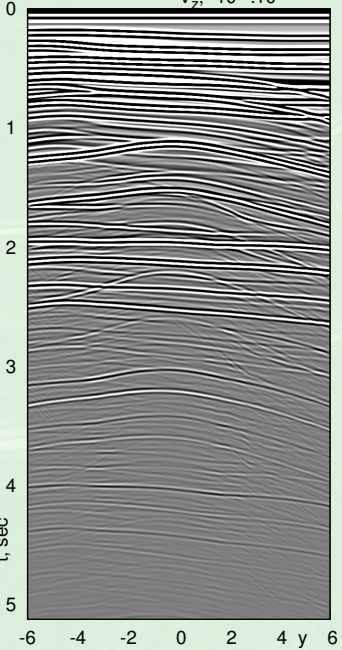
неклассифицируемые (сейсмический «шум» ).



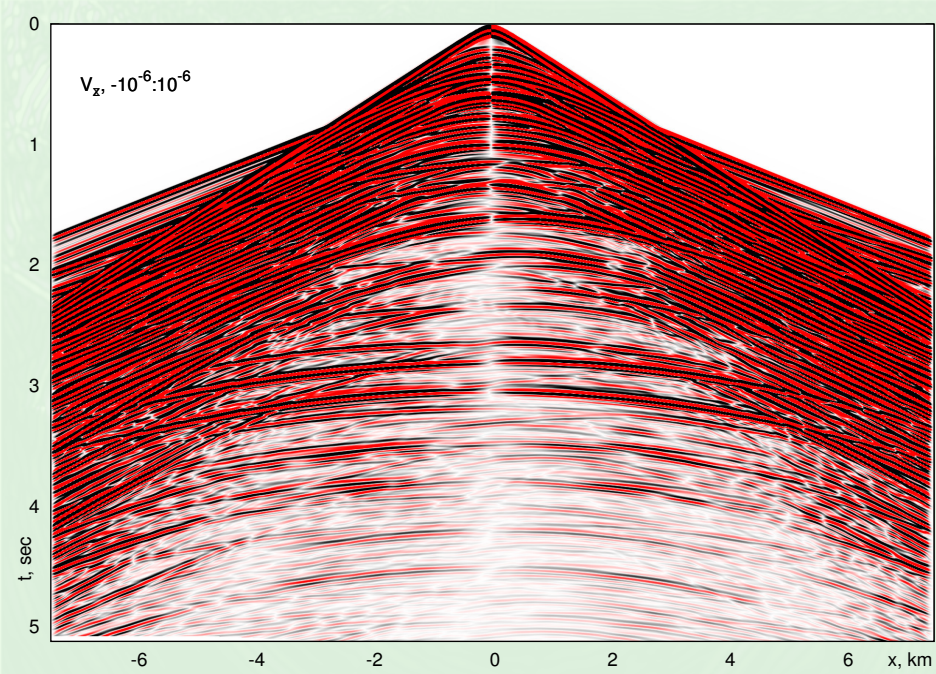
# 3D модель Предуральского краевого прогиба (сечение x-z)



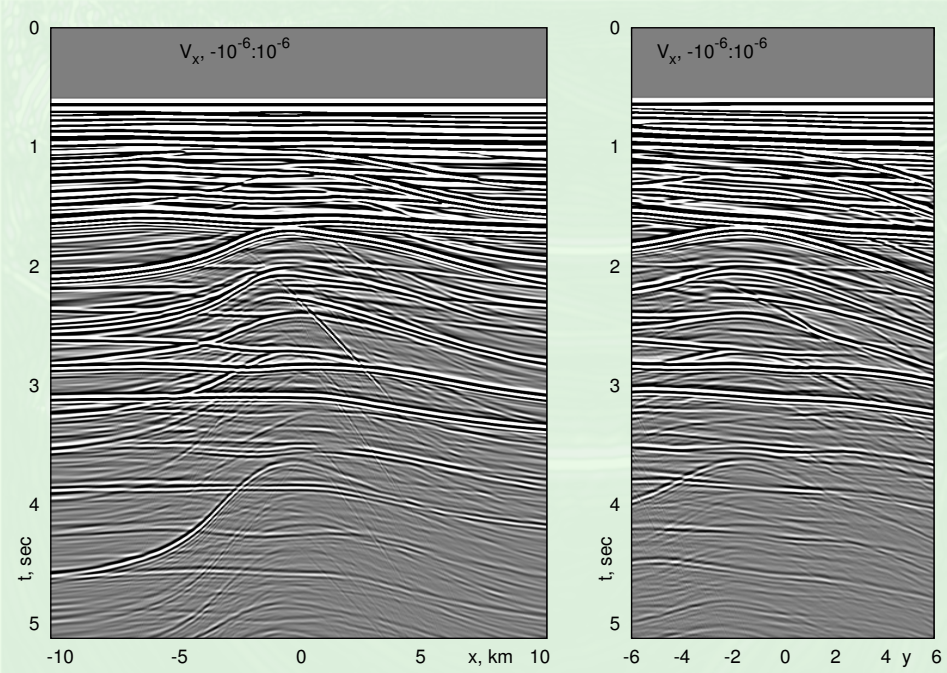


$V_z, -10^{-6}:10^{-6}$  $V_z, -10^{-6}:10^{-6}$ 

Сейсмический разрез для нулевого смещения ПП относительно ПВ, 656  
сейсмограмм



Типичная сейсмограмма (горизонтальная компонента)

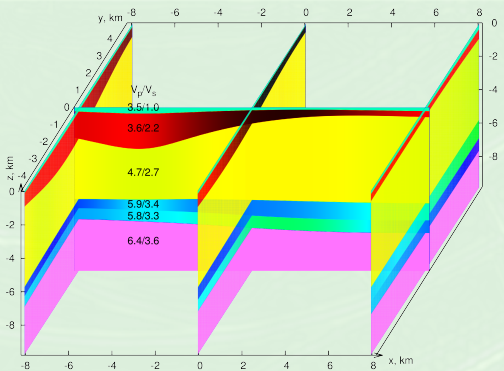


Сейсмический разрез для смещения ПП относительно ПВ на 2км, 656 сейсмограмм

## Требования адекватности полноволнового моделирования

- ▶ Модели геосреды трёхмерны по пространству и имеют необходимый набор сейсмофизических параметров таких как плотность, модули упругости, а также параметры анизотропии и затухания, характеризующих трещиноватость, пористость, флюидонасыщенность и т.д.
- ▶ Полноволновая пространственно-временная динамика сейсмического поля восстанавливается с возможностью выделения заранее выбранных типов волн и их групп с прослеживанием от источника до итоговых сейсмограмм на уровне амплитуд на порядки меньших уровня сейсмического «шума».
- ▶ Точность расчётов должна обеспечивать совпадение моделируемых синтетических сейсмограмм их реальным (полевым) аналогам по следующим параметрам: времена первых вступлений и максимумов сигнала вдоль всего гидографа, а также амплитуды и формы сигналов-откликов от целевых объектов, обычно малоконтрастных.
- ▶ «Себестоимость» моделирования существенно меньше стоимости полевой сейсморазведки.

Особенности CFgeo4:  
 линейный размер области:  
 $L \sim 10\text{км}$ ,  
 время  $T \sim 10\text{сек}$ ,  
 дискретность:  
 пространства  $\Delta^x \sim 10\text{м}$   
 времени  $\Delta^t \sim 1\text{мс}$ ,  
 $f_0 \sim 10 \div 100\text{Гц}$ .



**Базовая модель:** сложнопостроенная толстослоистая ( $> 25\text{м}$ ), изотропная, глубины границ заданы на сетке по латерали ( $100\text{м}^2$  с интерполяцией 3го порядка), возможны выклинивания, надвиги и т.д. Доступные типы слоев: однородные, неоднородные по латерали, градиент по глубине

**Дополнения базовой модели:** тонкие слои и локальные включения, с анизотропией и затуханием, специальные.

**Система наблюдения:** 3D система наблюдения площадью до  $100\text{ км}^2$  на сетке с шагом 25 м и длиной гидографа до 14.5 км. Фланговая с максимальным выносом до 22.5 км. (либо симметричная с длиной гидографа до 25 км.) и параллельными линейками ПП с удалением до 2.4 км от ПВ, расстояние между ПП 25 м.

## Явные сеточные методы с локальным шаблоном

Точность аппроксимации (погрешность скорости сигналов/волн):

$$O(1/\text{ppw}_t^2), O(1/\text{ppw}_x^4), \text{ppw}_x = V^{\min}/f^{\max} \Delta^x, \text{ppw}_t = 1/f^{\max} \Delta^t.$$

Устойчивость (условие Куранта)  $\Delta_t \leq \Delta_x / V^{\max} k \sqrt{3}$

Параметры:  $\lambda^{\min} = V^{\min}/f^{\max}$ ,  $K = \text{ppw}_t/\text{ppw}_x \geq k \sqrt{3} V^{\max}/V^{\min}$ .

Типовые значения параметров:

$$V^{\max} = 12.5 \text{ км/с},$$

$$f_0 = 40 \text{ Гц}, V^{\min} = 3/2/1.5 \text{ км/с}$$

$$f_0 = 20 \text{ Гц}, V^{\min} = 1.5/1/0.75 \text{ км/с}$$

Вычислительная сложность:

$$N_c \simeq 10^9, N_T \simeq 2\sqrt{3} K \sqrt[3]{N_c} \sim 10^5.$$

$$9N_c \text{ данных } (\sim 40 \text{ ГБ}), N_{\text{calc}} \simeq 100 \cdot 2\sqrt{3} K N_c^{4/3} \text{ операций } (\sim 10^{16})$$

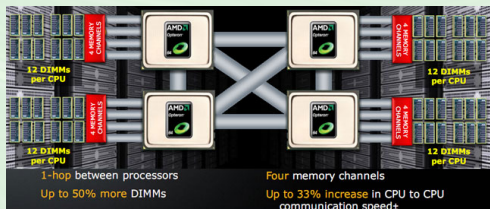
Оптимальный порядок обработки данных  $\rightarrow$  алгоритмы LRnLA.

Достигаемый темп вычислений (в сек.)  $\sim 1 \text{ млрд ячеек сетки} * \text{шагов в расчете на узел кластера с линейным ускорением по числу узлов.}$

- 5 узлов, интерконнект: InfiniBand 4GB, 3xEthernet 1Gbit,



- Каждый узел: 2U

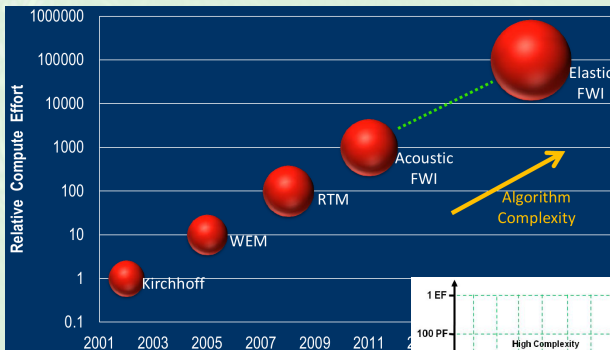


- 48xCore/8xNUMA
- 4xOpteron 6174 @ 2.4GHz / 12 ядер / L3 2x6MB; RAM: 256GB DDR3 @ 1333GHz;
- 2xPCI-E 8x SSD RAID0
- 6x2TB SATA 7200rpm HDD / 1x40GB SATA SSD;
- производительность узла 0.9TFlops; кластера 4.5TFlops;
- стоимость кластера (2011г) 2,5млн.руб.

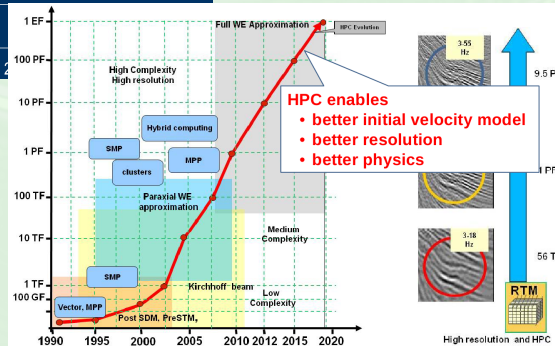
## Решённые и решаемые с использованием кода CF/Geo4 задачи (МОГТ 2D/3D 1С/ЗС, ВНИИГеосистем, Роснедра):

- ▶ Геофизическое обоснование прогноза строения отложений осадочного чехла в районах с проявлением солянокупольной тектоники;
- ▶ Прогноз нефтегазоперспективных объектов с использованием технологии трансформации волновых полей в сейсморазведке МОВ-ОГТ (в районах Восточной Сибири, Предуральского краевого прогиба, Прикаспийской впадины).
- ▶ Обработка и интерпретация сейсмических материалов, получаемых на опорных геофизических и региональных профилях, предусмотренных «Программой Роснедра по геологическому изучению недр территории России, Арктики и Антарктики»;
- ▶ Разработка методики прогноза по сейсмическим данным зон трещиноватых коллекторов рифейской толщи Восточной Сибири;
- ▶ Обоснование нестандартной системы наблюдения вдоль русла реки Подкаменная Тунгуска;

# Сейсморазведка и высокопроизводительные вычисления



"HPC in Oil and Gas Exploration"  
Anthony Lichnewsky  
Schlumberger WesternGeco  
PRACE 2011 Industry workshop

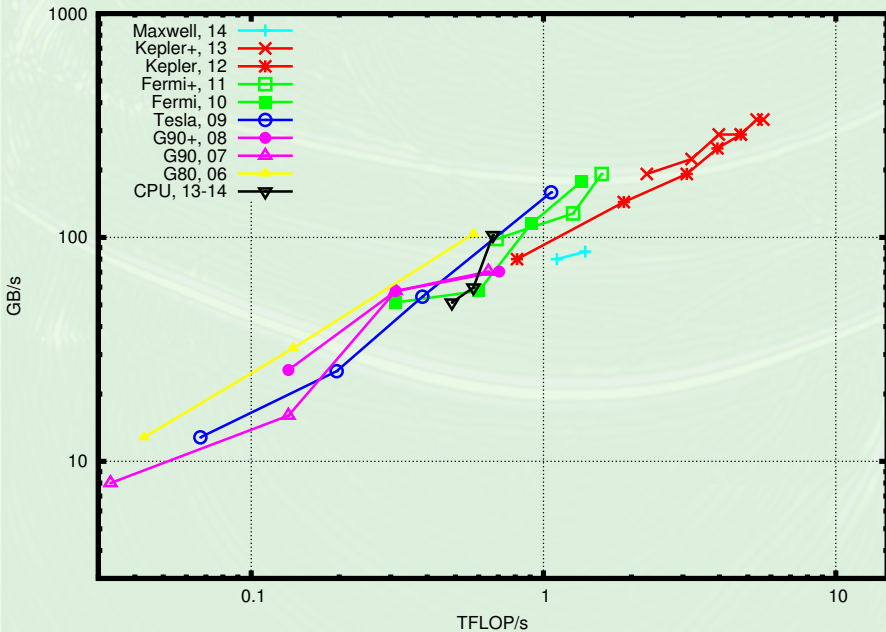


"Seismic Imaging and HPC- how to preserve our investment and to prepare the future?",  
Henri Calandra, Total, EAGE 2010

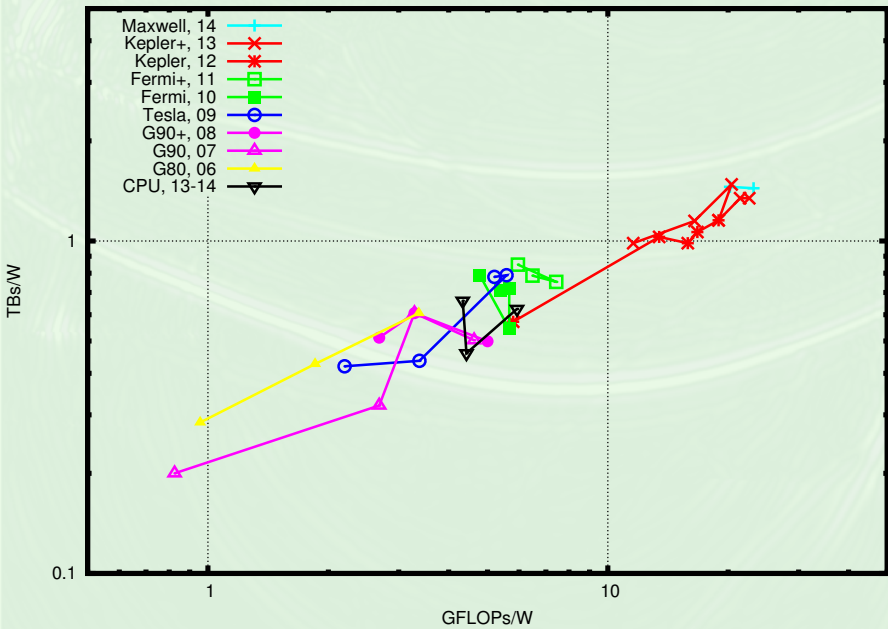
# GPGPU Nvidia



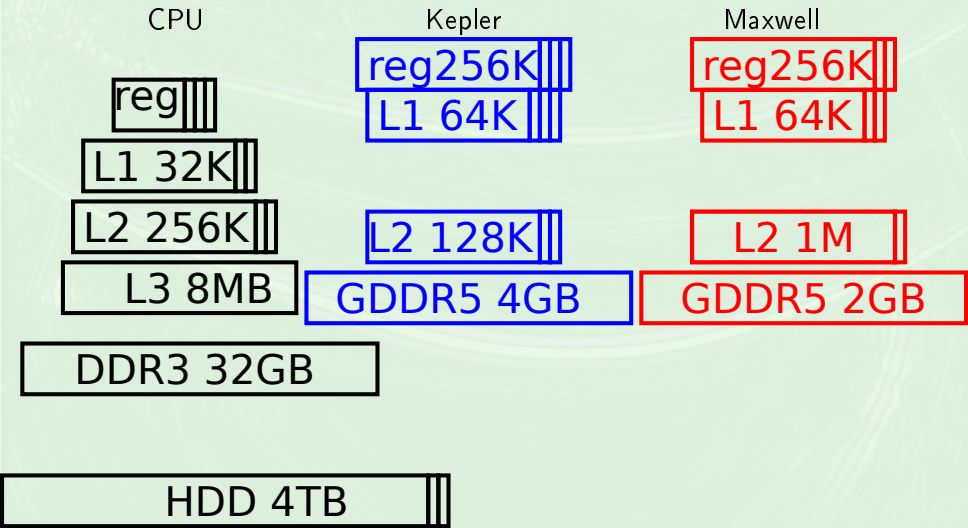
## Рост производительности



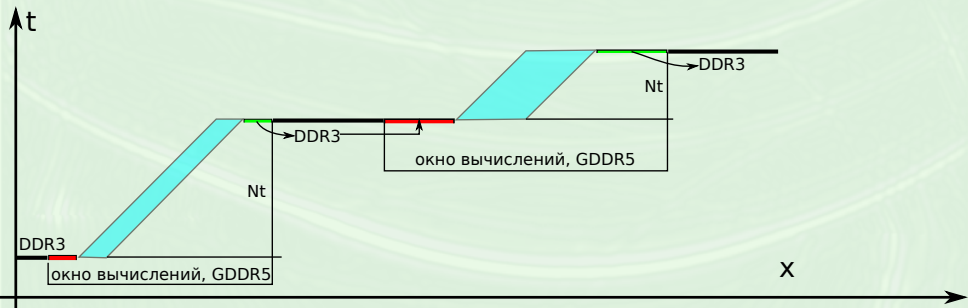
## Рост энергоэффективности



## Особенности модели памяти GPGPU



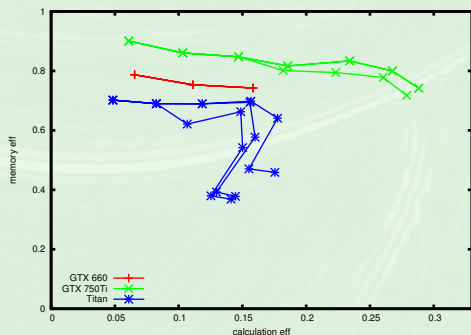
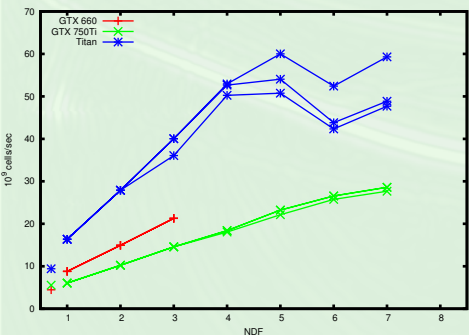
## Алгоритм DiamondTorre. Окно вычислений



# Зависимость производительности/эффективности от параметра алгоритма DiamondTorre

Достигнутый темп вычислений, акустика, схема 2 порядка (в  $10^9$  ячеек/сек)

50-60 на GeForce GTX Titan (GK110, 14xSMX, 6xCh GDDR5, 288.4 GB/sec),  
27-29 на GeForce GTX 750Ti (GM107, 5xSMM, 2xCh GDDR5, 86.4 GB/sec),  
22 на GeForce GTX 660 (GK106, 5xSMX, 3xCh GDDR5, 144.2 GB/sec),



коэффициент локальности:

$$K_L = (+)7N_{DF} / (Id\&st) [4 - (1 - 1/N_{cached\_blk}) / N_{DF} + 2(2 - 1/N_{DF}) / N_t]$$

## Результаты и перспективы

- ▶ Разработаны новые алгоритмы DiamondTorre семейства LRnLA для численного решения уравнений упругости и акустики, эффективные для модели памяти GPGPU;
- ▶ Достигнута производительность от  $3 \cdot 10^9$  (полная система уравнений упругости, 4й порядок) до  $60 \cdot 10^9$  (акустика, 2й порядок) узлов/сек/GPU.
- ▶ Реализована интерактивная версия кода для моделирования уравнений упругости geo3D (30сек.-10мин. на генерацию синтетической сейсмограммы) с воксель-визуализацией динамики волн в толще.

## Перспективы применения алгоритмов LRnLA в решении прямых и обратных задач сейсморазведки

**Научно–поисковые задачи** Основная цель — разработка новых методик, технологий обработки и интерпретации результатов сейсморазведки. Нет актуального ограничения на размер модели. Эффективность вычислений близка к предельной для высокопроизводительных систем. Полноволновая глубинная миграция в обратном времени до суммирования (FW pre-stack RTM), полноволновая инверсия (FWI).

**Инженерно–поточные задачи** Обеспечивается высокий темп проведения расчетов на относительно дешевых вычислительных системах. Легко адаптируется к актуальным вычислительным архитектурам, доступны вычисления как сервис (облачные).

**Интерактивные задачи** Основным требованием является быстрота получения результата каждого расчёта от задания параметров геосреды до получения синтетических сейсмограмм с визуальным контролем динамики волн в среде.